



## ارزیابی دقیق مدل‌های CMIP6 برای شبیه‌سازی دما و بارش

### حوضه آبریز دریاچه ارومیه

فیروز عبدالعلیزاده<sup>۱</sup>، علی محمد خورشیددوست<sup>۲\*</sup>، سعید جهانبخش<sup>۳</sup>

<sup>۱</sup>دانشجوی دکتری آب و هواشناسی، دانشگاه تبریز

<sup>۲</sup>آستاد گروه آب و هواشناسی، دانشگاه تبریز

<sup>۳</sup>آستاد گروه آب و هواشناسی، دانشگاه تبریز

تاریخ دریافت: ۱۴۰۱/۶/۱۷؛ تاریخ پذیرش: ۱۴۰۱/۸/۱۴

چکیده

در پژوهش حاضر دقیق مدل‌های گردش عمومی گزارش ششم هیئت بین‌الدول تغییر اقلیم (CMIP6) در شبیه‌سازی دما و بارش حوضه آبریز دریاچه ارومیه مورد ارزیابی قرار گرفته است. مدل‌های مورد استفاده ۰-HR، MPI-ESM1-2-HR، MRI-ESM2-0، INM-CM5-0 و CMCC-ESM2 CMCC هستند. ارزیابی دقیق مدل‌ها قبل و بعد از تصحیح ارجی انجام گرفته است. برای تصحیح ارجی مدل‌ها از روش آماری تغییر عامل دلتا و داده‌های هفت ایستگاه سینوپتیک در سطح حوضه استفاده شده است. بدین منظور دوره مورد مطالعه (۱۹۹۰-۲۰۱۳) به دو دوره دوازده ساله جهت انجام واسنجی و صحبت‌سنجدی تقسیم شد. بدین ترتیب دقیق داده‌های تصحیح شده مدل‌ها با استفاده از تغییر عامل دلتا برای دوره ۲۰۰۲-۲۰۱۳ نسبت به داده‌های مشاهداتی با استفاده از سنجه‌های درستی‌سنجدی  $R^2$ ، RMSE، NRMSE، NRMSE، نمودارهای تیلور و پراش‌نگار مورد ارزیابی قرار گرفتند. نتایج نشان دادند که برای کل حوضه بین داده‌های تصحیح شده مدل‌ها و مشاهدات ایستگاهی برای دما رابطه خطی با قوی و برای بارش رابطه خطی ضعیف برقرار است. شاخص‌های RMSE و NRMSE بیانگر دقیق بالای مدل‌ها در شبیه‌سازی دمای ماهانه و دقیق نسبتاً ضعیفتر در شبیه‌سازی بارش ماهانه حوضه هستند و در بین مدل‌ها، CMCC بیشترین خطای داشت. نقشه‌های توزیع مکانی برای میانگین‌های ماهانه کل نشان دادند که هر چهار مدل، دما را با دقیق بالای شبیه‌سازی کرده‌اند اما شبیه‌سازی بارش در برخی مناطق حوضه دقیق قابل قبول ندارد. بنابراین دقیق مدل‌های مورد مطالعه در شبیه‌سازی دما خوب و در شبیه‌سازی بارش به خصوص در مدل CMCC ضعیف ارزیابی شده است.

**واژه‌های کلیدی:** شبیه‌سازی دما و بارش، روش تغییر عامل دلتا، تصحیح ارجی

تغییر اقلیم را مورد ارزیابی قرار دهد. یکی از مهم‌ترین علل تغییر اقلیم و گرمایش جهانی که بیشتر مطالعات اقلیمی و نتایج داده‌های مشاهداتی آن را تصدیق می‌کنند، انتشار گازهای گلخانه‌ای توسعه فعالیت‌های مختلف بشر می‌باشد. لذا، دانشمندان جهت مدل‌سازی و پیش‌بینی اقلیم آینده کره زمین اقدام به تولید سناریوهای مختلف انتشار گازهای گلخانه‌ای نموده‌اند تا بر اساس سناریوها تغییر اقلیم را شبیه‌سازی نمایند. این سناریوها پیش‌بینی گازهای گلخانه‌ای آینده، آئرسول‌ها و آلاینده‌های هوا و کاربری آینده زمین

### مقدمه

در حال حاضر یکی از مهم‌ترین چالش‌های پیش روی بشر مسئله تغییر اقلیم و چگونگی رویارویی با این موضوع می‌باشد. اهمیت موضوع تا حدی است که سازمان ملل نهادی را با عنوان هیئت بین‌الدول تغییر اقلیم (IPCC<sup>۱</sup>) تأسیس کرده تا تغییر اقلیم را در سطح جهانی مطالعه کند و نقش فعالیت‌های بشر در

\*نویسنده مسئول: khorshid@tabrizu.ac.ir  
2. Intergovernmental Panel on Climate Change

متغیرهای اقلیمی توسعه داده شده است. از جمله روش خطی، روش واریانس، نگاشت توزیع و روش تصحیح تغییر عامل دلتا. همه این روش‌ها فرض می‌کنند که رابطه آماری موجود بین شبیه‌سازی‌های تاریخی و مشاهداتی برای دوره آینده نیز برقرار هستند (وود و همکاران<sup>۷</sup>، ۲۰۰۴).

مطالعات متعددی برای ارزیابی دقت مدل‌های GCM در سطح جهانی و ایران با استفاده از روش‌های مختلف مقیاس‌کاهی و تصحیح اریبی انجام گرفته است. احمد و همکاران<sup>۸</sup>، مقیاس‌کاهی و تصحیح اریبی خروجی مدل‌های اقلیمی در ارزیابی اثرات تغییر اقلیم شمال شرق ایالات متحده را مطالعه کردند. مهروتر و شارما<sup>۹</sup>، تصحیح اریبی سامانمند مدل‌های GCM را ارزیابی کردند و روشهای تحت عنوان MRNBC برای تصحیح اریبی ارائه نمودند. لی و همکاران<sup>۱۰</sup>، قابلیت‌های بارش شبیه‌سازی و تصحیح شده مدل‌های GCM را در بازسازی دوره‌های خشک و تر گذشته در سنگاپور را مورد تحلیل قرار دادند. نتایج نشان دادند که بارش تصحیح شده مدل‌های GCM تمایل به تخمین بیش از حد طول دوره‌های تر و خشک دارد، همچنین فراوانی و شدت بارش‌ها بیش از حد تخمین زده شده است. یانگ و همکاران<sup>۱۱</sup> (۲۰۱۸)، تصحیح اریبی شبیه‌سازی‌های گذشته و آینده بارش و دمای چین تحت مدل‌های CMIP5 را مورد مطالعه قرار دادند. نتایج نشان دادند که هر دو روش (CDF و EDCDF) کارایی مناسبی در دوره تاریخی دارند، اما EDCDF کاهش اریبی بهتر عمل می‌کند، هر دو روش دارای میانگین خطای مطلق مشابه برای دما بودند، اما برای بارش روش EDCDF میانگین خطای مطلق کمتری داشت. سریواستاوا و همکاران<sup>۱۲</sup> (۲۰۲۰)، شبیه‌سازی‌های تاریخی مدل‌های CMIP6 برای بارش‌های حدی ایالات متحده را بررسی کردند. نتایج نشان

می‌باشد (پدرسن و همکاران<sup>۱</sup>، ۲۰۲۲). در این زمینه، IPCC به عنوان مهم‌ترین مرجع پژوهش‌ها و پیش‌بینی‌های مربوط به تغییر اقلیم تاکنون چندین نسل از سناریوهای انتشار را رائه داده و براساس نتایج مدل‌سازی‌های مختلف تغییر اقلیم، شش گزارش ارزیابی از تغییر اقلیم را منتشر کرده است. در گزارش اخیر IPCC جدیدترین مدل‌های تغییر اقلیم با عنوان مدل‌های سری CMIP6 می‌باشد که اقلیم آینده را تحت سناریوهای انتشار SSP شبیه‌سازی می‌کند (هیئت بین‌الدول تغییر اقلیم، ۲۰۲۲).

مدل‌های گردش عمومی<sup>۲</sup> GCM به طور گسترده‌ای برای شبیه‌سازی آب و هوای گذشته، حال و آینده مورد استفاده قرار گرفتند. آنها براساس قوانین اساسی فیزیک، دینامیک سیالات، شیمی و غیره ساخته شده‌اند. مدل‌های فعلی قادر به باز تولید الگوهای بزرگ مقیاس دمای سطح و بارش گذشته هستند (فلاتو و همکاران<sup>۳</sup>، ۲۰۱۳). با این حال مدل‌ها هنوز ناقص هستند، زیرا درک ما از سیستم آب و هوای واقعی هنوز محدود است و مشکلاتی در زمینه محاسبه فرمول‌های غیرخطی برای نمایش طبیعت و اتخاذ پارامترهای ناکافی برای فرآیندهای فیزیکی وجود دارد (احمد و همکاران<sup>۴</sup>، ۲۰۱۳). شبیه‌سازی‌های تاریخی برای ارزیابی دقت مدل‌ها مفید هستند. شبیه‌سازی‌های تاریخی ابزار مهمی برای تعیین سازگاری و حساسیت مدل‌های اقلیمی نسبت به داده‌های مشاهداتی و کنترل عدم قطعیت این مدل‌ها می‌باشد (ایرینگ و همکاران<sup>۵</sup>، ۲۰۱۶). برای حذف اریبی و مقیاس‌کاهی مدل‌های GCM از روش‌های دینامیکی و آماری استفاده می‌شود. مقیاس‌کاهی آماری روشهای نسبتاً سریع و کارآمد برای فرموله کردن رابطه آماری بین خروجی‌های GCM و داده‌های مشاهداتی هستند (فالور و ویلبی<sup>۶</sup>، ۲۰۰۷). چندین روش تصحیح اریبی برای مقیاس‌کاهی

- 
- 7. Wood et al.
  - 8. Ahmed et al.
  - 9. Mehrotra and Sharma
  - 10. Li et al.
  - 11. Yang et al.
  - 12. Srivastava and et al.

- 1. Pedersen et al.
- 2. General Circulation Models
- 3. Flato et al.
- 4. Ahmed et al.
- 5. Eyring et al.
- 6. Fawler and Wilby

سناریوهای SSP2-4.5 و SSP5-8.5 و روش تغییر عامل دلتا پیش‌یابی کردند. رنجبر و اوچی (۱۳۹۹)، در بررسی روند فرین‌های دمایی، از روش تصحیح اریبی GCM<sup>۳</sup> برای مقیاس‌کاهی خروجی مدل QMD استفاده کردند. کامیار (۱۳۹۹)، خطای مدل‌های آب و هوایی در شبیه‌سازی دما و بارش را با استفاده از نمودار تیلور ارزیابی کرد و سپس اقدام به تصحیح خطا با استفاده از روش‌های QM و اصلاح خطای اسکن خطی نمود. دهقانی و همکاران (۱۴۰۰)، صحت و کارایی مدل‌های منتخب CMIP5 را با استفاده از روش‌های آماری تصحیح خطا مورد ارزیابی قرار دادند و نتایج تحقیق نشان داد که در مقادیر متوسط ماهانه دقت مدل‌ها افزایش می‌یابد و مدل برتر متناسب با نوع شاخص آماری و دوره زمانی متفاوت است. حمیدیان پور و همکاران (۱۴۰۰)، کارایی مدل SDSM در مقیاس‌کاهی و تصحیح اریبی مدل‌های GCM را در شبیه‌سازی بارش ارزیابی کردند. نتایج نشان دادند دقت شبیه‌سازی‌ها از سمت مناطق مرطوب کشور به سمت مناطق خشک و فراخشک کاهش می‌یابد. ارزیابی مطالعات پیشین نشان می‌دهد در مطالعات تغییر اقلیم یک منطقه باید از مدل‌های مناسب آن منطقه و با انجام صحت‌سنجی مدل‌ها و در صورت نیاز تصحیح اریبی و ریزمقیاس نمایی، استفاده نمود. حوضه آبریز دریاچه ارومیه بزرگترین دریاچه داخلی ایران محسوب می‌شود اما طی سال‌های اخیر با مشکل کم آبی و خشکی روی رو می‌باشد. از این رو نگرانی‌هایی در مورد وضعیت فعلی و بخصوص آینده آن و اثراتی که بر محیط زیست و اقتصاد منطقه خواهد داشت، وجود دارد. مطالعات متعددی در زمینه تغییر اقلیم حال و آینده در حوضه دریاچه ارومیه با استفاده از مدل‌های GCM انجام گرفته است (از جمله عبدالعلیزاده ۱۳۹۷)، تغییرات اقلیمی حوضه آجی چای یکی از زیر حوضه‌های اصلی دریاچه ارومیه را با استفاده از مدل‌های CMIP5 مورد ارزیابی و پیش‌بایی قرار داد، کریمی و نبی‌زاده (۱۳۹۷)، اثرات تغییر اقلیم بر پارامترهای اقلیمی حوضه دریاچه

دادند که بیشتر مدل‌ها میانگین و تغییرپذیری دوره‌های تر را بیش از حد و دوره‌های خشک را کمتر از حد تخمین می‌زنند. همچنین اریبی مدل‌های CMIP6 به وضوح کمتر از مدل‌های CMIP5 هستند. ژانگ و همکاران<sup>۱</sup> (۲۰۲۱)، کارایی مدل‌های CMIP6 را برای شبیه‌سازی دما و بارش خینچیانگ چین با استفاده از ۴۲ مدل طی دوره ۱۹۹۵-۲۰۱۴ ارزیابی کردند. نتایج نشان دادند، مدل‌ها توزیع جغرافیایی هر دو متغیر را به خوبی نشان می‌دهند. شبیه‌سازی دما خطای کمتری نسبت به بارش داشته و بارش سالانه و فصلی عموماً بیش از حد تخمین زده می‌شود. سناتوره و همکاران<sup>۲</sup> (۲۰۲۲)، با استفاده از ترکیب چندین مدل آب و هوای جهانی و منطقه‌ای و تصحیح اریبی، تأثیر هیدرولوژیکی تغییرات اقلیمی تحت سناریوهای RCP را مورد ارزیابی قرار دادند. در تحقیق ایشان، عدم قطعیت مدل‌ها با استفاده از روش تحلیل واریانس بررسی شد. در ایران، معصوم پور سماکوش و همکاران (۱۳۹۶)، دقت داده‌های بارش مدل‌های CMIP5 را با استفاده از EF، RMSE و BIAS ارزیابی کرده و نشان دادند که مدل‌های بررسی شده از توانایی بالایی در برآورد بارش کشور برخوردار نیستند. کامیار و همکاران (۱۳۹۷)، دقت خروجی مدل‌های منطقه‌ای آب و هوا (CORDEX) را با استفاده از شاخص‌های میانگین خطای، همبستگی پیرسون و RMSE بررسی کردند و نشان داد که همبستگی مدل‌ها با داده‌های مشاهداتی برای بارش اندک و برای دما زیاد است. شکوهی و همکاران (۱۳۹۷)، دقت مدل‌های CMIP5 را براساس شاخص نمره مهارت ارزیابی کردند و نشان دادند، شبیه‌سازی‌ها با خطای همراه است و باید قبل از استفاده تصحیح شوند. زرین و داداشی رودباری (۱۳۹۹)، دقت سه مدل از سری مدل‌های CMIP6 را جهت شبیه‌سازی دما در محدوده کشور ایران بررسی کردند. نتایج نشان دادند که مدل MRI-ESM-2-0 بیشترین دقت را در بین سه مدل دارد. سپس با استفاده از مدل منتخب، دمای آینده ایران را تحت

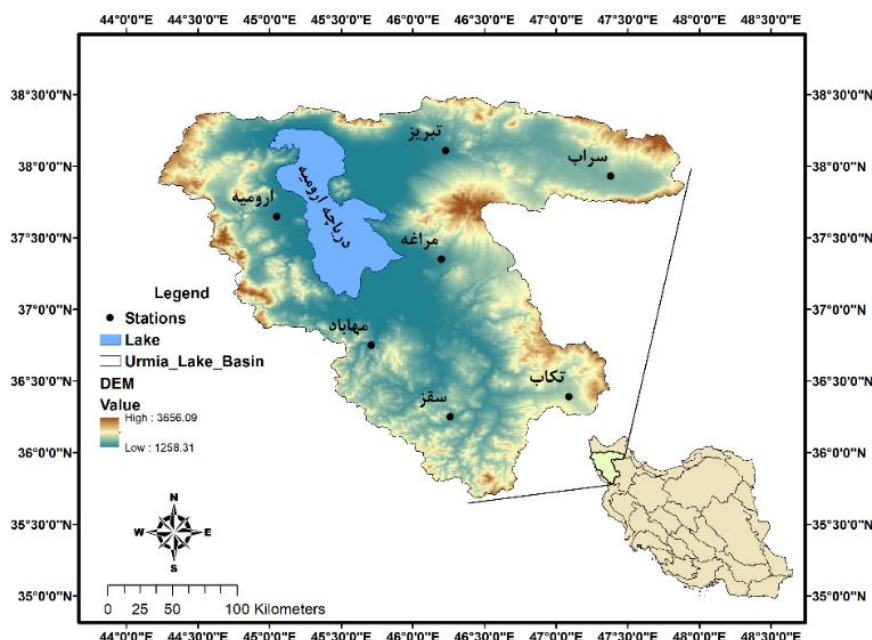
1. Zhang et al.

2. Senatore et al.

## مواد و روش‌ها

حوضه آبریز دریاچه ارومیه از نظر جغرافیایی بین ۳۵ درجه و ۴۰ دقیقه تا ۳۹ درجه و ۳۰ دقیقه عرض شمالی و ۴۴ درجه و ۱۳ دقیقه تا ۴۷ درجه و ۵۰ دقیقه طول شرقی و با مساحت ۵۱۸۷۶ کیلومتر مربع یکی از حوضه‌های آبریز اصلی کشور است (شکل ۳). این حوضه بخش‌هایی از استان‌های آذربایجان غربی (۰٪)، آذربایجان شرقی (۴۳٪) و کردستان (۱۱٪) را شامل می‌شود (قربانی اقدم و همکاران، ۱۳۹۱). چهارده رودخانه بزرگ و کوچک دائمی به دریاچه ارومیه می‌ریزند که مهم‌ترین آن‌ها عبارتنداز: زرینه رود (جیغاتی)، سیمینه رود (تاتائو)، آجی چای، گدار، باراندوز، شهر چایی، نازلو و زولا. آب و هوای این منطقه براساس طبقه‌بندی اقلیمی کوپن-گایگر جزء مناطق نیمه بیابانی خشک و سرد محسوب می‌شود (رضیئی، ۱۳۹۶).

ارومیه را برای دوره ۲۰۱۱-۲۰۴۰ بررسی کردند، میردشتawan و همکاران، (۱۳۹۶)، تغییر اقلیم حوضه دریاچه ارومیه را با استفاده از مدل HadCM3 برای دوره‌های آینده ارزیابی کردند، گودرزی و همکاران، (۱۳۹۴)، تأثیرات تغییرات اقلیمی بر رواناب سطحی حوضه دریاچه ارومیه را مطالعه کردند. با توسعه مدل‌های GCM و انتشار مدل‌های جدید، مطالعات تغییر اقلیم باید با بهره‌گیری از جدیدترین مدل‌ها و همچنین ارزیابی دقت و صحت‌سنجی و استفاده از روش‌های تصحیح اریبی، می‌توانند نتایجی با دقت بالاتر برای تغییرات اقلیمی ارائه دهند تا برنامه‌ریزی‌ها و اقدامات برای مقابله با اثرات تغییر اقلیم به نتایج قابل قبولی منتج شوند. لذا با توجه به انتشار مدل‌های جدید گرددش عمومی با عنوان CMIP6، در این تحقیق اقدام به ارزیابی دقت این مدل‌ها در حوضه آبریز دریاچه ارومیه شده است.



شکل ۱: نقشه موقعیت جغرافیایی منطقه و ایستگاه‌های مورد مطالعه

صحت‌سنجی می‌شود. مدل‌های GCM مورد استفاده شامل چهار مدل می‌باشند که مشخصات آن‌ها در جدول ۱ ارائه شده است.

در این تحقیق دقت و کارایی مدل‌های گرددش عمومی جو سری CMIP6 برای شبیه‌سازی دمای متوسط و بارش منطقه مورد مطالعه ارزیابی و

جدول ۱: مشخصات مدل‌های گردش عمومی جو

سال انتشار	رزولوشن (خشکی)	کشور خاستگاه	مدل
۲۰۱۷	۱۰۰ کیلومتر	ژاپن	MRI-ESM2-0
۲۰۱۷	۱۰۰ کیلومتر	آلمان	MPI-ESM1-2-HR
۲۰۱۶	۱۰۰ کیلومتر	روسیه	INM-CM5-0
۲۰۱۷	۱۰۰ کیلومتر	ایتالیا	CMCC-ESM2

میانگین مربعات خطای بین مقادیر مدل و مشاهداتی هستند. پس از رسم نمودار، مدلی که دقیق‌تر بیشتری داشته باشد به نقطه مرجع نزدیک‌تر خواهد بود. داده‌های مشاهداتی شامل دما و بارش روزانه هفت ایستگاه هواشناسی (تبریز، سراب، مراغه، ارومیه، تکاب، مهاباد و سقز) در سطح حوضه آبریز دریاچه ارومیه هستند. دوره مورد مطالعه از سال ۱۹۹۰ تا ۲۰۱۳ می‌باشد که به دو دوره ۱۲ ساله (۱۹۹۰ تا ۲۰۰۱ و ۲۰۰۲ تا ۲۰۱۳) جهت انجام کالیبراسیون و صحبت‌سنجی در مرحله مقیاس‌کاری تقسیم شد. مقیاس‌کاری داده‌های مدل‌های GCM با استفاده از روش تغییر عامل دلتا (DCF) انجام گرفت. روش دلتا بطور گسترده‌ای در مطالعات مربوط به مدل‌های گردش عمومی استفاده شده است. برای دما عامل تغییر برآساس تفاضل و برای بارش برآسانس نسبت داده‌های GCM در دوره پایه و دوره پیش‌بینی به دست می‌آید. پس از محاسبه عامل تغییر، برای دما عامل تغییر به مقدار دمای دوره پایه اضافه و برای بارش عامل تغییر در مقدار بارش دوره پایه ضرب می‌شود تا مقادیر تصحیح شده دما و بارش برای دوره پیش‌بینی حاصل شوند. نحوه محاسبه عامل تغییر دلتا و مقیاس‌کاری (تصحیح اریبی) دما و بارش طبق روابط زیر می‌باشد:

$$T_o^f = T_o + (\mu_m^f - \mu_m^c) \quad (3)$$

$$P_o^f = P_o \times \frac{\mu_m^f}{\mu_m^c} \quad (4)$$

در روابط فوق  $T$  دما بر حسب درجه سلسیوس،  $P$  بارش بر حسب میلی‌متر،  $f$  دوره آینده (دوره صحت سنگی)،  $c$  دوره پایه (دوره کالیبراسیون)،  $m$  داده‌های مدل و  $o$  داده‌های مشاهداتی هستند. در رابطه<sup>۳</sup>,

روش کار بدین صورت است که داده‌های مدل‌های GCM برای منطقه مورد مطالعه استخراج شده و پس از ریزمقیاس‌سازی با داده‌های مشاهداتی مورد مقایسه و ارزیابی قرار گرفتند. جهت ارزیابی دقیق مدل‌ها از شاخص‌های آماری ریشه میانگین مربعات خطای نرمال شده (RMSE)، ریشه میانگین مربعات خطای نرمال شده (NRMSE) و ضریب تبیین ( $R^2$ ) و نمودارهای پراش‌نگار (Scatter Plot) و تیلور (Taylor Plot) استفاده شده است.

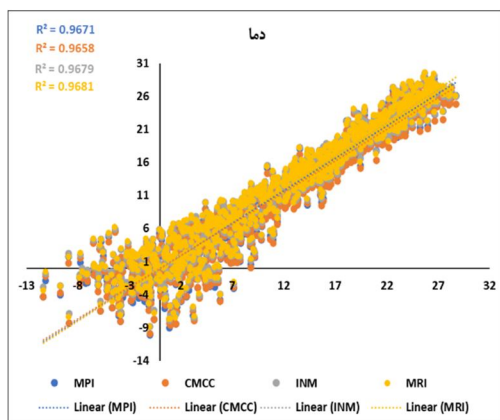
$$RMSE = \sqrt{\frac{1}{n} \sum_{i=1}^n (M_i - O_i)^2} \quad (1)$$

$$NRMSE = \frac{RMSE}{O_{max} - O_{min}} \quad (2)$$

در روابط فوق  $M_i$  و  $O_i$  مقادیر مدل و مشاهداتی و  $n$  تعداد کل داده‌ها هستند. شاخص RMSE میزان خطای مدل را نسبت به مقادیر مشاهداتی نشان می‌دهد. برای مقایسه چندین مدل از حالت استاندارد شده NRMSE یعنی شاخص RMSE استفاده می‌شود. در نمودار پراکندگی، پراکندگی داده‌های مدل در مقابل داده‌های مشاهداتی به صورت نقطه‌ای ترسیم شده است و هر چه نقاط به خط نیمساز نزدیک‌تر باشند بیانگر دقیق‌ترین نمودار تیلور<sup>۱</sup> برای ارزیابی اولیه توافق بین شبیه‌سازی‌ها و داده‌های مشاهداتی است. در این نمودار قطبی، ارزش داده مشاهده شده به عنوان یک نقطه مرجع بر روی محور افقی مشخص شده است. بُعد شعاعی گویای انحراف استاندارد متغیر شبیه‌سازی شده و بُعد زاویه‌ای نشان دهنده همبستگی مقادیر شبیه‌سازی شده و مشاهداتی است. خطوط بریده نیز نشان دهنده ریشه

1. Taylor Diagram

ايستگاه‌های مورد مطالعه، به منظور بررسی کلیتی از رابطه بین مقادیر شبیه‌سازی شده مدل‌ها (تصحیح شده به روش دلتا) و مشاهداتی، نمودارهای پراکنده‌گی برای میانگین دما و بارش کل حوضه ترسیم شد (شکل ۲). میانگین کل حوضه از طریق میانگین‌گیری از هفت ايستگاه هواشناسی حاصل شد. همچنین خطوط روند (رابطه خطی بین مقادیر مدل و مشاهداتی) و ضریب تعیین ( $R^2$ ) برای کل حوضه ترسیم و محاسبه گردیدند. داده‌های دما و بارش ماهانه کل حوضه از طریق میانگین‌گیری دما و بارش ماهانه هفت ايستگاه سینوپتیک مورد مطالعه حاصل شدند. نمودار پراکنده‌گی مربوط به دمای متوسط حوضه نشان می‌دهد که رابطه مقادیر شبیه‌سازی شده هر چهار مدل با مقادیر مشاهداتی تقریباً خطی است و خطوط ترسیم شده نیز با توجه به نزدیکی به نیمساز، این امر را تأیید می‌نمایند. همچنین  $R^2$  هر چهار مدل مقادیر بالایی دارند (بالای ۰/۹) که بیانگر دقیقت بالای خط برآش شده بین مقادیر شبیه‌سازی‌ها و مشاهداتی هستند. لذا مدل‌های تصحیح شده در کل دمای متوسط ماهانه حوضه را نسبتاً خوب برآورد کرده‌اند. نمودار پراکنده‌گی بارش روابط خطی ضعیف‌تری نسبت به دما نشان می‌دهند (شکل ۲). همانطور که در شکل ۲ مشاهده می‌شود، برای هر چهار مدل خطوط روند از نیمساز فاصله گرفته‌اند و  $R^2$  آن‌ها مقادیر پایین‌تری دارند. بنابراین رابطه خطی ضعیفی بین مقادیر شبیه‌سازی شده مدل‌ها و مشاهداتی وجود دارد.



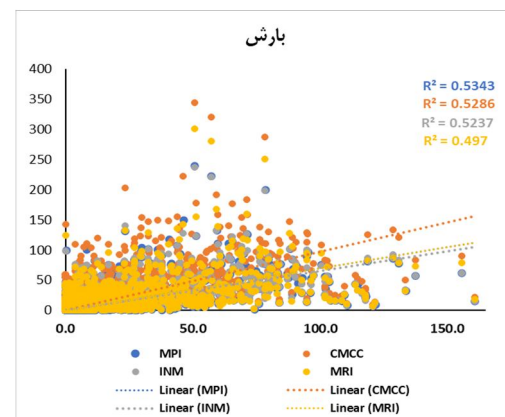
شکل ۲: نمودار پراکنده‌گی میانگین دما و بارش ماهانه کل حوضه مربوط به مقادیر شبیه‌سازی شده چهار مدل و مشاهداتی (دما بر حسب درجه سلسیوس و بارش بر حسب میلی‌متر)

$$\frac{\mu_m^f}{\mu_m^p} - \mu_m^f \text{ عامل تغییر برای دما و در رابطه } ۴, \text{ عامل تغییر برای بارش هستند.}$$

برای ارزیابی دقیقت شبیه‌سازی مدل‌های مورد مطالعه، مقادیر ماهانه پارامترهای اقلیمی (میانگین دما و مجموع بارش ماهانه) طی دوره ۱۹۹۰-۲۰۱۳ هم برای مدل‌ها و هم برای داده‌های مشاهداتی با استفاده از داده‌های روزانه محاسبه شد. داده‌های روزانه دما و بارش ایستگاه‌های مورد مطالعه از سازمان هواشناسی کشور و داده‌های مدل‌های مطالعه از پایگاه برنامه جهانی تحقیقات اقلیمی (https://esgf-node.llnl.gov) استخراج شدند. جهت استفاده از روش تغییر عامل دلتا، دوره مورد مطالعه به ۲۰۰۲-۲۰۱۳ و ۱۹۹۰-۲۰۰۱ و دوره دوازده ساله استخراج شدند. تقسیم گردید. با استفاده از داده‌های مدل‌ها در دوره اول و دوم طبق روابط ۳ و ۴، عوامل تغییر دلتا برای دما و بارش ماهانه ایستگاه‌ها استخراج شد و سپس با استفاده از عوامل تغییر، دما و بارش ماهانه ایستگاه‌ها برای دوره دوم تولید گردیدند. به این ترتیب در هر ایستگاه برای هر یک از پارامترهای دما و بارش، چهار سری داده به ازای چهار مدل GCM برای دوره ۲۰۰۲ تا ۲۰۱۳ تهیه شد.

## نتایج و بحث

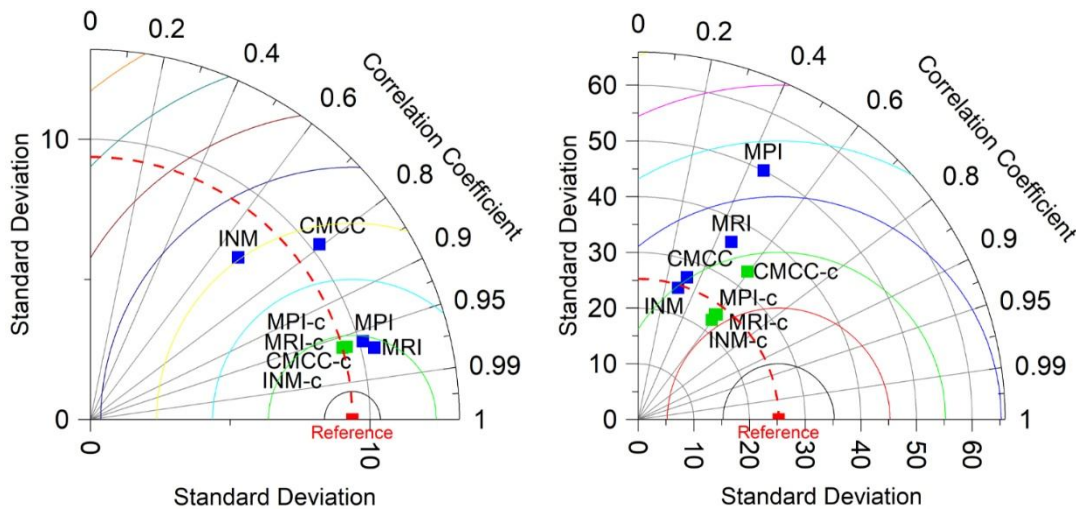
پس از تولید داده‌های دما و بارش برای دوره ۲۰۰۲ تا ۲۰۱۳ با استفاده از روش تغییر عامل دلتا در



شکل ۲: نمودار پراکنده‌گی میانگین دما و بارش ماهانه کل حوضه مربوط به مقادیر شبیه‌سازی شده چهار مدل و مشاهداتی (دما بر حسب درجه سلسیوس و بارش بر حسب میلی‌متر)

همبستگی بالاتری دارند. بعد از تصحیح اربیتی همه مدل‌ها به نقطه مرجع نزدیکتر شده و تقریباً در یک نقطه قرار دارند. بنابراین دقیقیت همه مدل‌ها در شبیه‌سازی دما بهبود یافته است (همبستگی همه مدل‌ها به بالای ۹۵٪ رسیده است). در نمودار تیلور بارش (شکل ۳-راست) نیز مشاهده می‌شود مدل‌ها بعد از تصحیح اربیتی به نقطه مرجع نزدیکتر شده‌اند و دقیقیت آنها بالاتر رفته است (همبستگی مدل‌ها با مشاهدات از حدود ۶۰٪ به تقریباً ۹۰٪ رسیده است).

در ادامه به منظور ارزیابی توافق اولیه بین شبیه‌سازی‌های مدل‌های GCM (بعد از تصحیح اربیتی) و مشاهدات ایستگاه‌های سینوپتیک از نمودار تیلور استفاده شده است (شکل ۳). این نمودارها برای دوره ۲۰۱۳ تا ۲۰۰۲ برای میانگین دمای ماهانه حوضه و میانگین بارش ماهانه حوضه برای چهار مدل GCM ترسیم شده‌اند. بررسی نمودار تیلور دما (شکل ۳-چپ) نشان می‌دهد که قبل از تصحیح اربیتی، مدل‌های MPI و INM نسبت به CMCC (با توجه به نزدیکی به نقطه مرجع) دقیق و



شکل ۳: نمودارهای تیلور میانگین دمای حوضه (چپ) و میانگین بارش حوضه (راست) بین مقادیر ماهانه مدل‌ها و مشاهدات قبل و بعد از تصحیح اربیتی (نقاط آبی قبل از تصحیح و نقاط سبز بعد از تصحیح)

شده است. به عنوان مثال برای ایستگاه تبریز سه مدل MRI، INM و MRI و برای ایستگاه ارومیه مدل INM، MPI بالاترین دقیقیت را دارند. بررسی مقادیر RMSE برای بارش نشان می‌دهد که مقادیر خطای بیویژه در ایستگاه‌های سقز و مهاباد نسبتاً زیاد است. در جدول ۲ مدل‌های دارای بالاترین دقیقیت در هر ایستگاه که با رنگ زرد مشخص شده‌اند، مثلاً در ایستگاه تبریز مدل MRI و در ایستگاه ارومیه مدل INM بالاترین دقیقیت را دارند. نکته قابل توجه دیگر این است که مدل CMCC در همه ایستگاه‌ها بالاترین خطای را در بین مدل‌ها دارد.

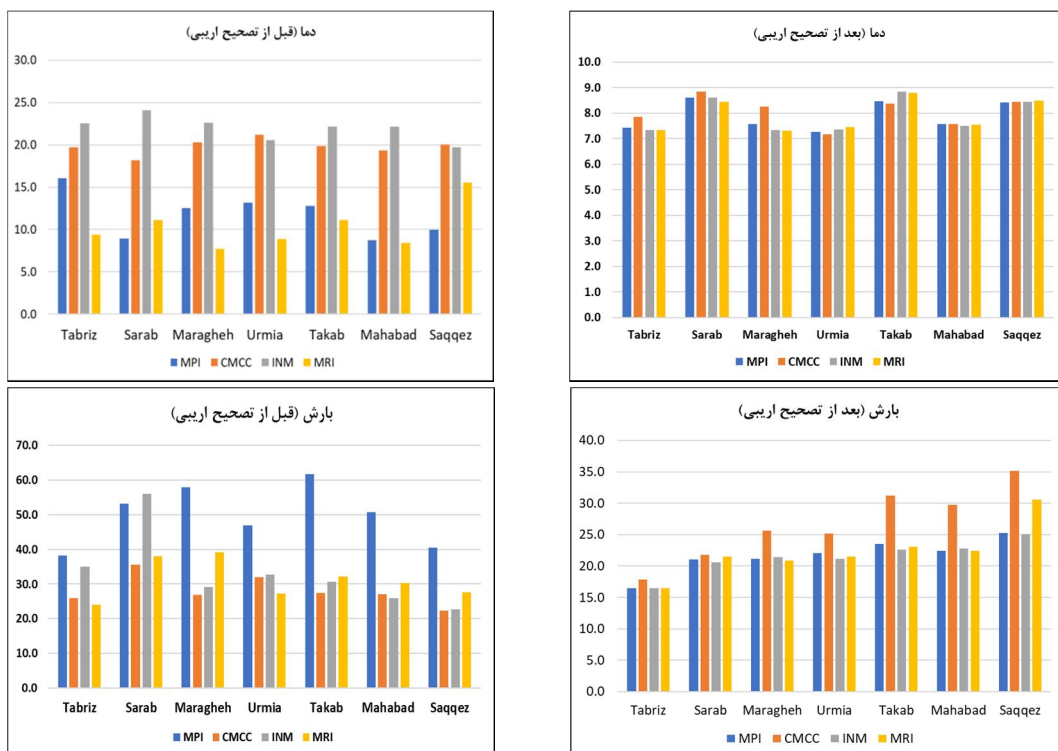
به منظور ارزیابی دقیق‌تر شبیه‌سازی‌های دما و بارش حوضه آبریز دریاچه ارومیه با استفاده از مدل‌های CMCC، MPI، MRI و INM، شاخص‌های NRMSE و RMSE برای داده‌های ماهانه دوره ۲۰۰۲-۲۰۱۳ (۱۴۴ ماه) در هر ایستگاه هواشناسی محاسبه گردید (جدول ۲ و شکل ۴). با توجه به جدول ۲ برای دما، در کل حوضه شاخص مقادیر پایینی دارد (حداکثر ۳/۲ درجه سلسیوس) و این امر بیانگر دقیقیت بالای شبیه‌سازی‌های دما با استفاده از مدل‌های مورد مطالعه است. برای مشخص کردن مدل‌های با دقیقیت بالاتر در جدول ۲، کمترین مقادیر RMSE برای هر ایستگاه با رنگ زرد مشخص

جدول ۲: مقادیر RMSE برای دما و بارش

	مدل	تبریز	سراب	مراغه	ارومیه	تکاب	مهاباد	سقز
دما	MPI	۲/۶	۲/۹	۲/۶	۲/۴	۲/۹	۲/۶	۳/۱
	CMCC	۲/۸	۳	۲/۸	۲/۳	۲/۹	۲/۶	۳/۱
	INM	۲/۶	۲/۹	۲/۵	۲/۴	۳/۱	۲/۶	۳/۱
	MRI	۲/۶	۲/۸	۲/۵	۲/۴	۳	۲/۶	۳/۲
بارش	MPI	۱۸/۹	۲۱/۵	۲۴	۲۶/۶	۲۷/۴	۲۹/۹	۴۰/۶
	CMCC	۲۰/۵	۲۲/۲	۲۹/۱	۳۰/۵	۳۶/۳	۳۹/۷	۵۰/۶
	INM	۱۹	۲۱	۲۴/۴	۲۵/۵	۲۶/۳	۳۰/۴	۴۰/۴
	MRI	۱۸/۹	۲۲	۲۳/۷	۲۶	۲۶/۹	۲۹/۹	۴۹/۱

شبیه‌سازی‌های مدل‌های GCM منجر به افزایش دقت آن‌ها شده است یا نه، شاخص NRMSE برای مدل‌های مورد مطالعه قبل از تصحیح اریبی نیز محاسبه و در کنار نمودارهای قبل بعد از تصحیح ارائه شده است (شکل ۵).

به منظور مقایسه دقت یک مدل در ایستگاه‌های مختلف بهتر است از مقادیر استاندارد شده شاخص NRMSE یعنی NRMSE استفاده کرد. بتایراین مقادیر NRMSE متناظر جدول ۲ محاسبه و نتایج به صورت نمودار در شکل ۴ ارائه شده است. علاوه بر آن جهت بررسی این مسئله که آیا تصحیح اریبی



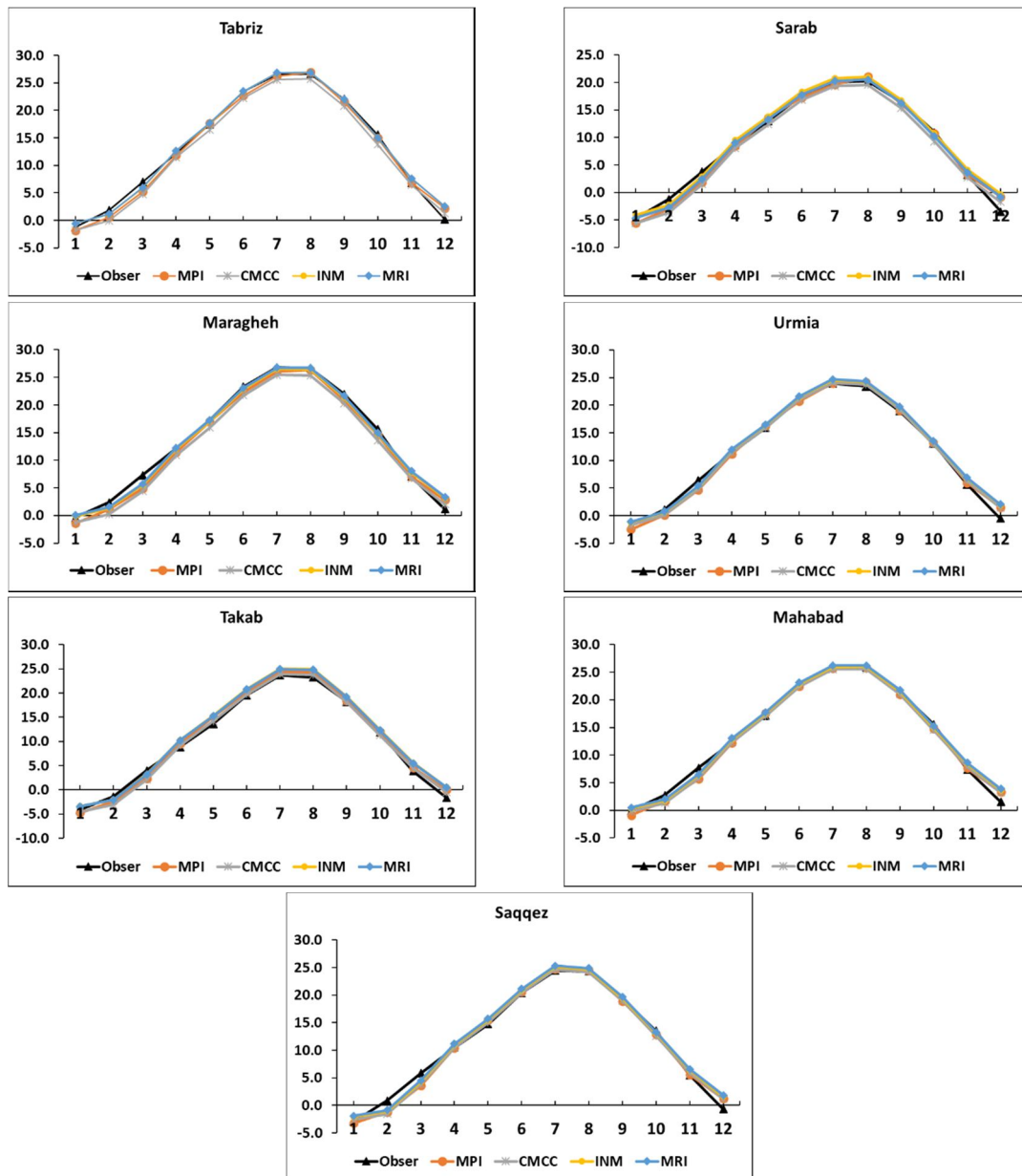
شکل ۴: شاخص NRMSE دما و بارش ایستگاه‌های مورد مطالعه قبل و بعد از تصحیح اریبی برای دوره ۲۰۱۳-۲۰۰۲

درصد است، اما پس از تصحیح مقدار شاخص خطای برای همه مدل‌ها کمتر از ۹ درصد می‌باشد. همچنین برای بارش، قبل از تصحیح مقدار شاخص خطای برای مدل‌ها بین ۲۲ تا ۶۱ درصد و بعد از تصحیح بین ۱۶

براساس نمودارهای شکل ۴، با توجه به مقادیر شاخص NRMSE قبل و بعد از تصحیح اریبی، دقت مدل‌ها به میزان چشم‌گیری بهبود یافته است. برای دما مقدار شاخص خطای قبل از تصحیح بین ۷ تا

ایستگاه‌های هواشناسی زیاد است و بیشترین خطا را مدل MPI دارد. بنابراین بدون تصحیح اریبی و مقیاس کاهی نمی‌توان برای شبیه‌سازی بارش از این مدل‌ها استفاده کرد. بعد از تصحیح اریبی خطا مدل‌ها کاهش یافته است. بعد از تصحیح کمترین خطا در ایستگاه تبریز و بیشترین آن در ایستگاه سقز مشاهده می‌شود. همچنین بعد از تصحیح، مدل CMCC در همه ایستگاه‌ها بیشترین خطا را دارد.

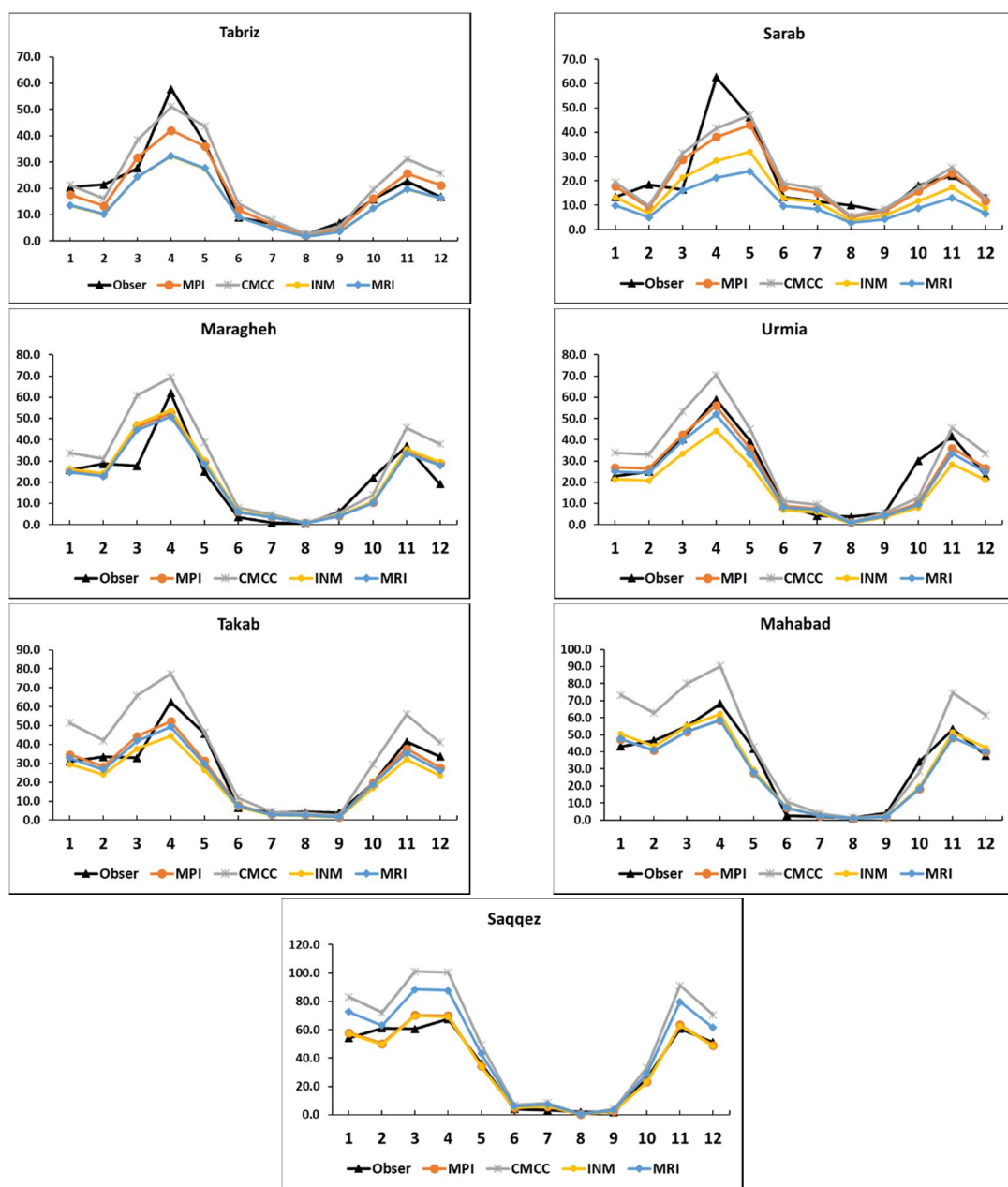
تا ۳۵ درصد است. برای دما قبل از تصحیح اریبی، مدل‌های MPI و MRI خطای کمتری (در بیشتر ایستگاه‌های مورد مطالعه زیر ۱۵ درصد) نسبت به دو مدل دیگر دارند، لذا برای شبیه‌سازی دمای ماهانه از مدل‌های مذکور قبل از تصحیح اریبی خطا هر چهار مدل به میزان قابل توجهی کاهش یافته و تفاوت بین مدل‌ها در ایستگاه‌های مختلف اندک است. برای بارش قبل از تصحیح اریبی میزان خطا مدل‌ها در بیشتر



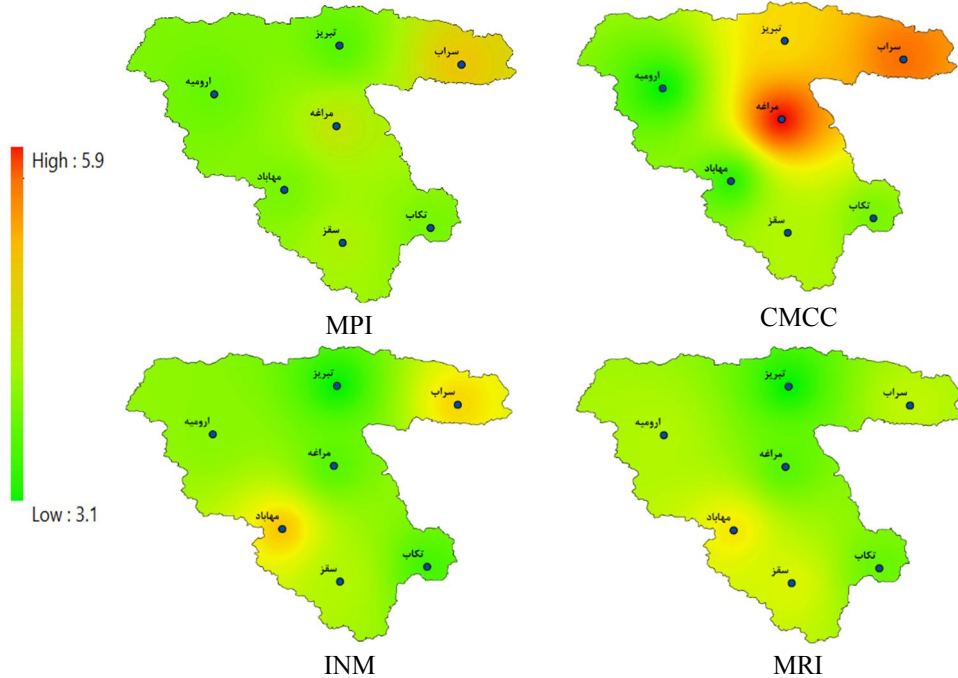
شکل ۵: مقادیر میانگین ماهانه دمای ایستگاه‌های مورد مطالعه (بر حسب درجه سلسیوس)

بررسی نمودارها گویای این است که مدل‌های مورد مطالعه در بیشتر ایستگاه‌های هواشناسی، میانگین ماهانه دمای هوا را برای ماه‌های فوریه و مارس کمتر و برای ماه دسامبر بیشتر از مقدار مشاهداتی برآورد کرده‌اند. برای بارش در بیشتر ماه‌ها بین برآورد مدل‌ها و مقادیر مشاهداتی اختلاف وجود دارد به ویژه در ماه‌های پربارش از جمله آوریل، اختلاف زیاد است.

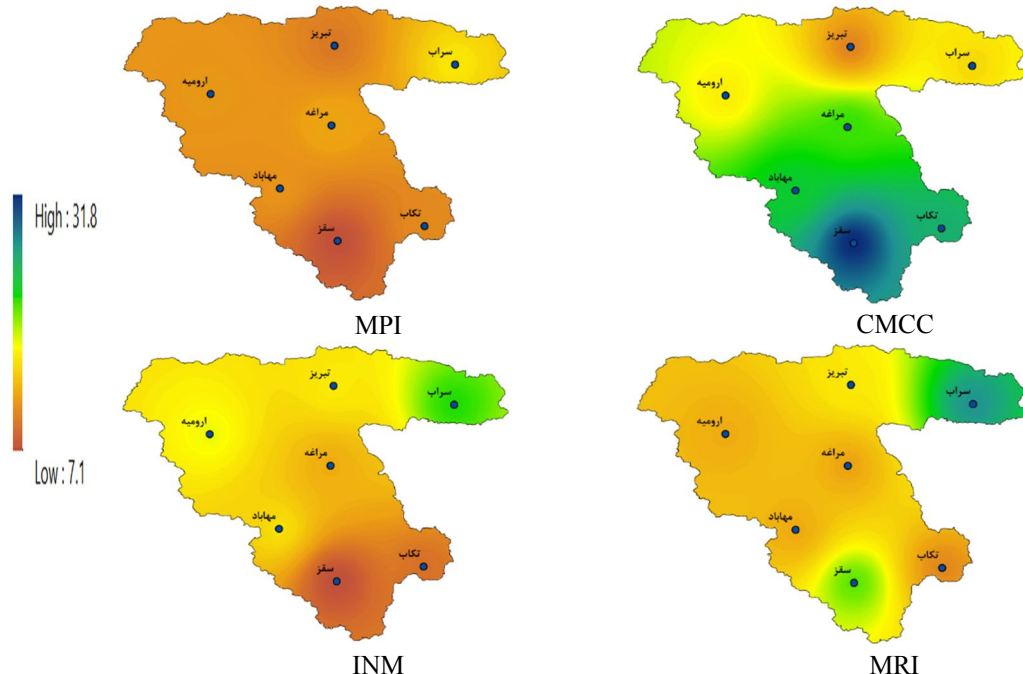
در ادامه ارزیابی دقیق مدل‌های GCM برای شبیه‌سازی دما و بارش، میانگین ماهانه کل دما و بارش مدل‌های مورد مطالعه طی دوره ۲۰۰۲-۲۰۱۳ برای هر ایستگاه محاسبه شد و همراه با میانگین داده‌های مشاهداتی ترسیم گردید (شکل‌های ۵ و ۶). در نگاه کلی، نمودارها بیانگر دقیق بالای شبیه‌سازی ها برای دما و دقیق نسبتاً کمتر برای بارش هستند.



شکل ۶: مقادیر میانگین ماهانه بارش ایستگاه‌های مورد مطالعه (بر حسب میلی‌متر)



شکل ۷: توزیع مکانی شاخص NRMSE (بر حسب درصد) برای مقادیر میانگین ماهانه دما در حوضه دریاچه ارومیه



شکل ۸: توزیع مکانی شاخص NRMSE (بر حسب درصد) برای مقادیر میانگین ماهانه بارش در حوضه دریاچه ارومیه

نقطه‌های دما و بارش برای هر مدل در سطح حوضه ترسیم شد (شکل‌های ۷ و ۸). بر اساس نتایج برای دما و بارش مقادیر NRMSE (بین ۳/۱ تا ۵/۹

جهت بررسی توزیع مکانی خطای مدل‌های مورد مطالعه در شبیه‌سازی دما و بارش حوضه در مقیاس میانگین ماهانه کل، نقشه‌های درونیابی شده شاخص

داده‌های کل حوضه، بعد از تصحیح اربیی برای دما رابطه خطی خوبی بین داده‌های مدل‌ها و مشاهداتی برقرار است (ضریب تعیین همه مدل‌ها بالای ۰/۹ هستند)، اما برای بارش رابطه خطی ضعیف تری برقرار است. ب) نمودارهای تیلور بیانگر همبستگی بالای داده‌های مدل‌ها با داده‌های مشاهداتی برای دما و همبستگی پایین‌تری برای بارش ایستگاه‌ها بودند، همچنین این نمودارها نشان دادند دقت مدل‌ها در شبیه‌سازی دما و بارش بعد از تصحیح اربیی بهبود یافته است. ج) مقادیر شاخص خطای RMSE برای مدل‌های تصحیح شده در شبیه‌سازی دما مقادیر قابل قبولی بودند، اما برای بارش مقادیر بالای مشاهده شد. د) مقایسه دقت مدل‌ها قبل و بعد از تصحیح اربیی با استفاده از شاخص NRMSE نشان داد که تصحیح اربیی دقت مدل‌ها را به صورت چشمگیری افزایش داده است. ه) اختلاف میانگین‌های کل ماهانه مدل‌ها و مشاهدات برای دما ناچیز و برای بارش در ماه‌های پربارش زیاد بود. و) توزیع مکانی خطای میانگین‌های کل ماهانه برای دما در سطح حوضه بیانگر دقت بالای مدل‌ها بود، علی‌رغم آن اختلافات مکانی (به ویژه در مدل CMCC) وجود داشت. برای بارش این اختلافات مکانی بیشتر مشهود بود.

با توجه به نتایج ارزیابی‌ها چنین استنباط می‌شود که مدل‌های منتخب CMIP6 پس از تصحیح اربیی در منطقه مورد مطالعه قابل استفاده هستند. اما اختلافاتی در بین دقت مدل‌ها در مناطق مختلف و پارامترهای متفاوت وجود دارد، مثلاً مشاهده شد مدل CMCC برای بارش ماهانه کمترین دقت را در بین مدل‌ها داشته است، بنابراین باید از مدل‌های با دقت بالاتر (مثلاً MPI یا INM) استفاده کرد. تحقیق حاضر، نتایج تحقیقات پیشین (یانگ و همکاران (۲۰۱۸)، شکوهی و همکاران (۱۳۹۷)، دهقانی و همکاران (۱۴۰۰)، زرین و داداشی رودباری (۱۳۹۹) و ...) مبنی بر پایین بودن دقت خروجی‌های مدل‌های GCM و لزوم مقیاس‌کاهی و تصحیح اربیی مدل‌ها را مورد تأیید قرار می‌دهد. همانند تحقیقات پیشین، تحقیق حاضر نیز بیانگر دقت بالای مدل‌های تصحیح شده در

درصد)، می‌توان نتیجه گرفت که هر چهار مدل میانگین ماهانه دما برای دوره ارزیابی (۲۰۰۲-۲۰۱۳) را به خوبی و با دقت بالایی شبیه‌سازی کرده‌اند. علی‌رغم آن، تفاوت‌هایی بین مدل‌ها و ایستگاه‌ها وجود دارد. CMCC کمترین دقت در بین مدل‌ها، متعلق به می‌باشد، چرا که این مدل در شبیه‌سازی دمای شرق و شمال شرق حوضه بیشترین خطأ را دارد. نقشه‌های توزیع مکانی NRMSE برای میانگین ماهانه بارش، نشان می‌دهند که بیشترین خطأ در بین مدل‌ها متعلق به CMCC است. این مدل نیمه جنوبی حوضه را با خطای زیادی (تا حدود ۳۱ درصد) شبیه‌سازی کرده است. همچنین کمترین خطأ در مدل MPI رخ داده است.

### نتیجه‌گیری

خروچی‌های مدل‌های گردش عمومی جو از نظر تفکیک‌پذیری زمانی و مکانی، در حدود ده‌ها کیلومتر در مقیاس روزانه و ماهانه هستند که در مقایسه با فرآیندهای اقلیمی و هیدرولوژیکی بزرگ مقیاس می‌باشند. علاوه بر این، شبیه‌سازی‌های GCM در هر دو مقیاس مکانی و زمانی دارای عدم قطعیت در پارامترسازی فرآیندها هستند، بنابراین نمی‌توان به طور مستقیم از خروچی این مدل‌ها در مطالعات تغییر اقلیم استفاده کرد. لذا مقیاس‌کاهی و تصحیح اربیی شبیه‌سازی‌های GCM برای به دست آوردن اطلاعات در مقیاس مناسب ضروری است (وود و همکلان، ۲۰۰۴). از این رو، در تحقیق حاضر دقت مدل‌های CMIP6 که اخیراً توسط IPCC منتشر شده‌اند، برای شبیه‌سازی دما و بارش حوضه آبریز دریاچه ارومیه مورد بررسی و ارزیابی قرار گرفت. بدین منظور، خروچی مدل‌های GCM طی دوره ۱۹۹۰-۲۰۱۳ استخراج شد و دقت آنها در مقابل داده‌های مشاهداتی (شامل هفت ایستگاه سینوپتیک در سطح حوضه) با استفاده از روش‌های آماری مورد بررسی قرار گرفت. این ارزیابی هم قبل از تصحیح اربیی و هم بعد از آن انجام گرفت. برای تصحیح اربیی مدل‌ها از روش تغییر عامل دلتا استفاده شد. نتایج نشان دادند: الف) برای

مدل 0 MRI-ESM2-0 مدلی مناسب برای شبیه‌سازی دما می‌باشد.

شبیه‌سازی دما و دقت پایین آن‌ها در شبیه‌سازی بارش می‌باشد. همچنین همانند تحقیق زرین و داداشی رودباری (۱۳۹۹)، تحقیق حاضر نشان داد

۸. عبدالعلی زاده، فیروز، ۱۳۹۷. پیش‌بینی تغییرات اقلیمی تحت سناریوهای RCP و ارزیابی اثرات آن بر منابع آب (مطالعه موردي: حوضه آبریز آجی چای)، رستم‌زاده، هاشم، پایاننامه کارشناسی ارشد، دانشگاه تبریز، دانشکده برنامه‌ریزی و علوم محیطی، گروه آب و هواشناسی.
۹. فربانی اقدم مرضیه، دین‌پژوه یعقوب، فاخری‌فرد احمد، دربانی صابر، ۱۳۹۱. پنهانه‌بندی حوضه دریاچه ارومیه از نظر خشکسالی با روش تجزیه به عامل‌ها، مجله آب و خاک، دوره ۲۶، شماره ۵، صفحات ۱۲۶۸-۱۲۷۶.
۱۰. کامیار، اصغر، ۱۳۹۹. اصلاح خطای دما و بارش در شبیه‌سازی مدل‌های آب و هوایی، مجله پژوهش‌های تغییرات آب و هوایی، دوره ۱، شماره ۱، صفحات ۱۴-۱.
۱۱. کامیار، اصغر، یزدان پناه، حجت‌الله، موحدی، سعید، ۱۳۹۷. ارزیابی دقت خروجی مدل‌های منطقه‌ای آب و هوا در ایران، پژوهش‌های جغرافیای طبیعی، دوره ۵، شماره ۱۰، صفحات ۱۶۱-۱۷۶.
۱۲. کریمی، مصطفی، نبی‌زاده، عادل، ۱۳۹۷. ارزیابی اثرات تغییر اقلیم بر پارامترهای اقلیمی حوضه آبریز دریاچه ارومیه طی سال‌های ۲۰۱۱-۲۰۴۰ با استفاده از مدل Lars-WG، مجله جغرافیا و برنامه‌ریزی، دوره ۲۲، شماره ۶۵، صفحات ۲۶۵-۲۸۵.
۱۳. گودرزی، مسعود، صلاحی، برومند، حسینی، سید اسعد، ۱۳۹۴. بررسی تأثیر تغییرات اقلیمی بر تغییرات رواناب سطحی (مطالعه موردي: حوضه آبریز دریاچه ارومیه)، مجله اکو‌هیدرولوژی، دوره ۲، شماره ۲، صفحات ۱۷۵-۱۸۹.
۱۴. معصوم پور سماکوش، جعفر، میری، مرتضی، پورکمر، فاطمه، ۱۳۹۶. ارزیابی داده‌های مدل‌های اقلیمی CMIP5 در مقایل داده‌های مشاهده‌ای ایران، مجله زئوفیزیک ایران، دوره ۱۱، شماره ۴، صفحات ۴۰-۵۳.
۱۵. میردشتawan، مهسا، ملکیان، آرش، محسنی ساروی، محسن، ۱۳۹۶. ارزیابی تغییر اقلیم تحت سناریوهای انتشار گازهای گلخانه‌ای: حوضه آبریز دریاچه ارومیه،

## منابع

۱. حسینی‌خواه، منصور، زینی‌وند، حسین، حقی‌زاده، علی، طهماسبی‌پور، ناصر، ۱۳۹۳. صحبت سنجی مقادیر دما و بارش مدل‌های گردش عمومی در ایستگاه‌های کرمانشاه، روانسر و اسلام‌آباد غرب، مجله هیدرولوژی، دوره ۱، شماره ۳، صفحات ۱۹۵-۲۰۶.
۲. حمیدیان‌پور، محسن، فلاح قاله‌ری، غلام‌عباس، علیمرادی، محمدرضا، ۱۴۰۰. ارزیابی کارایی مدل SDSM در بررسی پیامدهای تغییر اقلیمی برای پنهانه‌های اقلیمی مختلف ایران، مجله پژوهش‌های تغییرات آب و هوایی، دوره ۲، شماره ۵، صفحات ۱-۱۴.
۳. دهقانی، مرتضی، کاویان، عطاء‌الله، حبیب‌نژاد روشن، محمود، جعفریان جلدار، زینب، ۱۴۰۰. ارزیابی عدم قطعیت مدل‌های منطقه‌ای تغییر اقلیمی و روش‌های تصحیح خطأ و پیش‌بینی تغییرات اقلیمی شهرستان بیرون‌جند، پژوهشنامه مدیریت حوضه آبخیز، دوره ۱۲، شماره ۲۳، صفحات ۴۲-۵۳.
۴. رضیائی طیب، ۱۳۹۶. منطقه‌بندی اقلیمی ایران به روش کوبن-گایگر و بررسی جابجایی مناطق اقلیمی کشور در سده بیستم، فیزیک زمین و فضا، دوره ۴۳، شماره ۲، صفحات ۴۱۹-۴۳۹.
۵. رنجبر، فیروز، اوچی روح‌الله، ۱۳۹۹. اثرات گرمایش جهانی بر روند فرین‌های دمای روزانه در ایستگاه‌های منطقه خزری، مجله پژوهش‌های تغییرات آب و هوایی، شماره ۱، دوره ۳، صفحات ۲۱-۳۴.
۶. زرین، آذر، داداشی رودباری، عباسعلی، ۱۳۹۹. پیش‌نگری چشم انداز بلندمدت دمای آینده ایران مبتنی بر برونداد پروژه مقایسه مدل‌های جفت شده فاز ششم (CMIP6)، مجله فیزیک زمین و فضا، دوره ۴۶، شماره ۳، صفحات ۵۸۳-۶۰۲.
۷. شکوهی، مجتبی، ثنائی‌نژاد، سیدحسین، بنایان اول، محمد، ۱۳۹۷. ارزیابی شبیه‌سازی دما و بارش مدل‌های اقلیمی CMIP5 در مطالعات منطقه‌ای تغییر اقلیم (مطالعه موردي: مناطق عمده تولید گندم دیم ایران)، نشریه آب و خاک، دوره ۳۲، شماره ۵، صفحات ۱۰۱۳-۱۰۲۴.

- Yelekçi, R. Yu and B. Zhou (eds.)]. Cambridge University Press.
22. Li, X., Pijcke, G., Babovic, V. 2016. Analysis of Capabilities of Bias-corrected Precipitation Simulation from Ensemble of Downscaled GCMs in Reconstruction of Historical Wet and Dry Spell Characteristics, *Procedia Engineering*, 154, 631-638.
  23. Mehrotra, R., Sharma, A. 2015. Correcting for systematic biases in multiple raw GCM variables across a range of timescales, *Journal of Hydrology*, 520, 214-223.
  24. Pedersen, J.T.S., Vuuren, D., Gupta, J., Santos, F.D., Jae Edmonds, J., Swart, R., 2022, IPCC emission scenarios: How did critiques affect their quality and relevance 1990–2022?, *Global Environmental Change*, Volume 75, 102538, ISSN 0959-3780.
  25. Senatore, A., Fuoco, D., Maiolo, M., Mendicino, G., Smiatek, G., Kunstmann, H. 2022. Evaluating the uncertainty of climate model structure and bias correction on the hydrological impact of projected climate change in a Mediterranean catchment, *Journal of Hydrology: Regional Studies*, 42, 101120.
  26. Srivastava, A., Grotjahn, R., Ullrich, P.A. 2020. Evaluation of historical CMIP6 model simulations of extreme precipitation over contiguous US regions, *Weather and Climate Extremes*, 29, 100268.
  27. Wood, A.W., Leung, L.R., Sridhar, V. and Lettenmaier, D.P. 2004. Hydrologic implications of dynamical and statistical approaches to downscaling climate model outputs. *Climatic Change*, 62, 189–216.
  28. Yang, X., Wood, E.F., Sheffield, j., Ren, L., Zhang, M., and Wang, Y. 2018, Bias Correction of Historical and Future Simulations of Precipitation and Temperature for China from CMIP5 Models, *Journal of Hydrometeorology*, 609-623.
  29. Zhang, X., Hua, L., Jiang, D. 2021. Assessment of CMIP6 model performance for temperature and precipitation in Xinjiang, China, *Atmospheric and Oceanic Science Letters*, 15(11):100128.
- مجله مدیریت بیابان، دوره ۵، شماره ۹، صفحات ۳۰-۱۵
16. Ahmed, K.F., Wang, G., Silander, J., Wilson, A.M., Allen, J.M., Horton, R., Anyah, R., 2013. Statistical downscaling and bias correction of climate model outputs for climate change impact assessment in the U.S. northeast, *Global and Planetary Change*, 100, 320-332.
  17. Eyring, V., Bony, S., Meehl, G.A., Senior, C.A., Stevens, B., Stouffer, R.J., Taylor, K.E. 2016. Overview of the coupled model Intercomparison project Phase 6 (CMIP6) experimental design and organization. *Geosci. Model Dev. (GMD)* 9, 1937–1958.
  18. Flato, G., Marotzke, J., Abiodun, B., Braconnot, P., Chou, S.C., Collins, W., Cox, P., Driouech, F., Emori, S., Eyring, V., et al. 2013. Evaluation of climate models. In: *Climate Change 2013: The Physical Science Basis. Contribution of Working Group I to the Fifth Assessment Report of the Intergovernmental Panel on Climate Change*. Cambridge University Press, 741–866.
  19. Fowler, H.J., and Wilby, R.L. 2007. Beyond the downscaling comparison study. *Int. J. Climatol.*, 27, 1543–1545.
  20. IPCC, 2013. Summary for Policymakers. In: Stocker, T.F., Qin, D., Plattner, G.-K., Tignor, M., Allen, S.K., Boschung, J., Nauels, A., Xia, Y., Bex, V., Midgley, P.M. (Eds.), *Climate Change 2013: The Physical Science Basis. Contribution of Working Group I to the Fifth Assessment Report of the Intergovernmental Panel on Climate Change*. Cambridge University Press, Cambridge, United Kingdom and New York, NY, USA.
  21. IPCC, 2021. Summary for Policymakers. In: *Climate Change 2021: The Physical Science Basis. Contribution of Working Group I to the Sixth Assessment Report of the Intergovernmental Panel on Climate Change* [Masson-Delmotte, V., P. Zhai, A. Pirani, S.L. Connors, C. Péan, S. Berger, N. Caud, Y. Chen, L. Goldfarb, M. I. Gomis, M. Huang, K. Leitzell, E. Lonnoy, J.B.R. Matthews, T.K. Maycock, T. Waterfield, O.